

Рожение хиггс бозонов в произвольно поляризованных электрон–позитронных пучках

С. К. Абдуллаев,* М. Ш. Годжаев†

Бакинский Государственный Университет, физический факультет, кафедра теоретической физики
AZ1148, ул. З.Халилова, 23, Баку, Азербайджан

(Статья поступила 24.06.2017; Подписана в печать 13.11.2017)

С учетом произвольных поляризаций встречных электрон–позитронных пучков вычислены дифференциальные и полные сечения процессов $e^-e^+ \rightarrow ZH_{SM}$, $e^-e^+ \rightarrow Zh$, $e^-e^+ \rightarrow ZH$, $e^-e^+ \rightarrow hA$, $e^-e^+ \rightarrow HA$ и $e^-e^+ \rightarrow H^-H^+$, где H_{SM} — бозон Хиггса Стандартной модели, а h , H , A и H^\pm — аналоги бозона Хиггса, которые могут иметь место в МССМ. Исследованы и выявлены характерные особенности в поведении сечений и поляризационных характеристик процессов (право–левой спиновой асимметрии, поперечной спиновой асимметрии) в зависимости от энергий электрон–позитронных пучков и массы хиггсовских бозонов.

PACS: 12.15.-y, 12.15. Mm, 14.70 Nr УДК: 539.12-17

Ключевые слова: Стандартная модель, бозон Хиггса, спиральность, левая и правая константы связи, параметр Вайнберга, Минимальная Суперсимметричная Стандартная Модель.

ВВЕДЕНИЕ

Стандартная модель (СМ), основанная на локальной калибровочной симметрии $SU_C(3) \times SU_L(2) \times U_Y(1)$ хорошо описывает физику сильных и электрослабых взаимодействий между лептонами и кварками [1–10].

В теорию введен дублет скалярных полей $\varphi = \begin{pmatrix} \varphi^+ \\ \varphi^0 \end{pmatrix}$,

нейтральная компонента, которой обладает отличным от нуля вакуумным значением. В результате спонтанного нарушения симметрии из-за квантовых возбуждений скалярного поля появляется новая частица, бозон Хиггса, а за счет взаимодействия с этим полем калибровочные бозоны (W^\pm и Z^0), заряженные лептоны и кварки приобретают массу. Этот механизм генерации масс фундаментальных частиц известен как механизм спонтанного нарушения симметрии Брута–Энглерта–Хиггса [11–13]. Программа поиска скалярного бозона Хиггса была одной из главных задач Большого адронного коллайдера (*Large Hadron Collider* — ЛНС) в ЦЕРНе. Открытие бозона Хиггса с характеристиками, соответствующими предсказаниям СМ, осуществлено коллаборациями ATLAS и CMS в 2012 г. [14, 15] (см. также обзоры [16–18]).

В первых же экспериментах, проводимых на ЛНС, установлены основные свойства этой частицы. Хиггс–бозон — это скалярная частица со спином ноль, обладающая положительной четностью, отличным от нуля вакуумным значением, массой около 125 ГэВ, взаимодействующей с W - и Z -бозонами, а также лептонами и кварками с константой, пропорциональной их массам. Отметим, что с открытием Хиггс–бозона в СМ начался новый этап по исследованию свойств фундаментальных взаимодействий элементарных частиц. В связи с этим, интерес к различным кана-

лам рождения и распада Хиггс–бозона сильно возрос. Различные свойства Хиггс–бозона изучены в ряде работ [2, 3, 6, 19–23].

Наряду со СМ в литературе широко обсуждается и Минимальная Суперсимметричная Стандартная Модель (МССМ) [24–30]. В этой модели вводится два дублета скалярного поля с противоположными гиперзарядами -1 и $+1$:

$$H_1 = \begin{pmatrix} H_1^0 \\ H_1^- \end{pmatrix}, H_2 = \begin{pmatrix} H_2^+ \\ H_2^0 \end{pmatrix}.$$

Чтобы получить физические поля Хиггс–бозонов, H_1 и H_2 записываются в виде

$$H_1 = \frac{1}{\sqrt{2}} \begin{pmatrix} v_1 + H_1^0 + iP_1^0 \\ H_1^- \end{pmatrix},$$

$$H_2 = \frac{1}{\sqrt{2}} \begin{pmatrix} H_2^+ \\ v_2 + H_2^0 + iP_2^0 \end{pmatrix}.$$

Здесь H_1^0 , P_1^0 , H_2^0 и P_2^0 — вещественные поля, описывающие возбуждения системы относительно вакуумных состояний $\langle H_1 \rangle = \frac{1}{\sqrt{2}}v_1$ и $\langle H_2 \rangle = \frac{1}{\sqrt{2}}v_2$. CP–четные Хиггс–бозоны h и H получаются смешиванием полей H_1^0 и H_2^0

$$\begin{pmatrix} H \\ h \end{pmatrix} = \begin{pmatrix} \cos \alpha & \sin \alpha \\ -\sin \alpha & \cos \alpha \end{pmatrix} \begin{pmatrix} H_1^0 \\ H_2^0 \end{pmatrix}.$$

Аналогично имеем выражения:

$$\begin{pmatrix} G^0 \\ A \end{pmatrix} = \begin{pmatrix} \cos \beta & \sin \beta \\ -\sin \beta & \cos \beta \end{pmatrix} \begin{pmatrix} P_1^0 \\ P_2^0 \end{pmatrix},$$

$$\begin{pmatrix} G^\pm \\ H^\pm \end{pmatrix} = \begin{pmatrix} \cos \beta & \sin \beta \\ -\sin \beta & \cos \beta \end{pmatrix} \begin{pmatrix} H_1^\pm \\ H_2^\pm \end{pmatrix},$$

здесь G^0 и G^\pm — нейтральный и заряженные безмассовые бозоны, A — CP–нечетный и H^\pm — заряженные Хиггс–бозоны.

*E-mail: sabdullayev@bsu.edu.az†E-mail: m_qocayev@mail.ru

Таким образом, после спонтанного нарушения симметрии в МССМ появляются пять хиггсовских частиц: CP-четные h - и H -бозоны, CP-нечетный A -бозон и заряженные H^+ - и H^- -бозоны.

Следует отметить, что хиггсовский сектор МССМ характеризуется шестью параметрами $M_h, M_H, M_A, M_{H^\pm}, \beta$ и α . Из них только два параметра являются свободными, такими параметрами обычно выбирают $\text{tg } \beta$ и M_A . Параметр $\text{tg } \beta$ равен отношению $\frac{v_2}{v_1}$ и изменяется в пределах $1 \leq \text{tg } \beta \leq \frac{m_t}{m_b} = 36.5$. Массы CP-четных h - и H -бозонов выражаются массами M_A и M_Z :

$$M_{h(H)}^2 = \frac{1}{2}[M_A^2 + M_Z^2 \mp \sqrt{(M_A^2 + M_Z^2)^2 - 4M_A^2 M_Z^2 \cos^2 2\beta}].$$

Константа связи $h(H)$ -бозона с Z^0 -бозоном пропорциональна $\sin(\beta - \alpha)$ ($\cos(\beta - \alpha)$), а последний фактор дается выражением:

$$\cos^2(\beta - \alpha) = \frac{M_h^2(M_Z^2 - M_h^2)}{M_A^2(M_H^2 - M_h^2)}.$$

Обнаружение хиггсовских бозонов h, H, A, H^+, H^- и определение их физических характеристик являются основными задачами ЛНС и будущих высокоэнергетических электрон-позитронных коллайдеров. Столкновения электронов и позитронов при высоких энергиях являются эффективным методом изучения механизмов взаимодействия элементарных частиц. Это обусловлено главным образом, следующими двумя обстоятельствами. Во-первых, взаимодействие электронов и позитронов описывается СМ, поэтому полученные результаты хорошо интерпретируемы. Во-вторых, поскольку электроны и позитроны не участвуют в сильных взаимодействиях, существенно улучшаются фоновые условия эксперимента по сравнению с исследованиями, проводимыми с адронными пучками. Последнее обстоятельство является особенно существенным при изучении процессов с малыми сечениями. Отметим лишь, что эксперименты, проводимые с e^-e^+ -пучками в ускорительных центрах LEP и SLC вплоть до энергий $\sqrt{s} = 209$ ГэВ в системе центра масс, играли существенную роль для прецизионной проверки СМ [3, 31].

В настоящее время уже проектированы строительства нового поколения электрон-позитронных коллайдеров ILC (*International Linear Collider*), CLIC (*Compact Linear Collider*), FCC-ee (*Future Circular Collider*), CEPS (*Circular Electron Positron Collider*) [10, 32]. Эти коллайдеры в будущем позволят изучать физические свойства стандартного Хиггс-бозона и аналогов бозона Хиггса, которые имеют место в МССМ.

Благодаря довольно сильной связи Хиггс-бозонов с Z^0 - и W^\pm -бозонами, интенсивным источником рождения хиггсовских бозонов могли бы стать процессы, происходящие во встречных электрон-позитронных

пучках:

$$e^- + e^+ \rightarrow (Z^*) \rightarrow Z + H_{SM}, \quad (1)$$

$$e^- + e^+ \rightarrow (Z^*) \rightarrow Z + h, \quad (2)$$

$$e^- + e^+ \rightarrow (Z^*) \rightarrow Z + H, \quad (3)$$

$$e^- + e^+ \rightarrow (Z^*) \rightarrow h + A, \quad (4)$$

$$e^- + e^+ \rightarrow (Z^*) \rightarrow H + A, \quad (5)$$

$$e^- + e^+ \rightarrow (\gamma^*; Z^*) \rightarrow H^- + H^+, \quad (6)$$

где Z^* — виртуальный, а Z — реальный нейтральный вектор бозон.

Указанные реакции без учета поляризационных состояний электрона и позитрона рассмотрены ранее в ряде работ [19–21, 31–43]. В работе [21] нами рассмотрен процесс рождения векторного Z^0 -бозона и стандартного Хиггс-бозона (1) при столкновении продольно поляризованной электрон-позитронной пары. Показано, что этому процессу соответствуют две спиральные амплитуды F_{LR} и F_{RL} , описывающие процессы $e_L^- + e_R^+ \rightarrow Z + H_{SM}$ и $e_R^- + e_L^+ \rightarrow Z + H_{SM}$ (первый и второй индексы у спиральных амплитуд указывают спиральности электрона и позитрона соответственно, e_L^- — левополяризованный электрон, а e_R^+ — правополяризованный позитрон).

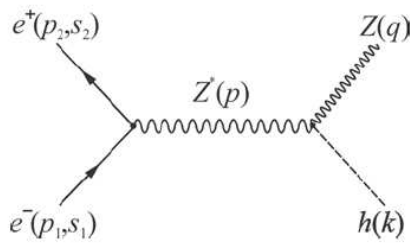
В настоящей работе исследуются процессы рождения хиггсовских бозонов (1)–(6) при столкновениях произвольно поляризованных электрон-позитронных пучков. Вычислены дифференциальные и полные сечения указанных процессов, изучены зависимости сечений и асимметрий от энергии e^-e^+ -пучков и массы хиггсовских бозонов.

1. СОВМЕСТНОЕ РОЖДЕНИЕ ВЕКТОРНОГО И СКАЛЯРНОГО БОЗОНОВ

Процесс рождения скалярного $h(H; H_{SM})$ и векторного Z -бозонов в электрон-позитронных столкновениях описывается диаграммой Фейнмана, приведенной на рис. 1 (в скобках указаны 4-импульсы и векторы поляризаций частиц).

Напишем матричный элемент, соответствующий диаграмме рис. 1 (учтено, что при высоких энергиях слабый электронный ток сохраняется):

$$M(e^-e^+ \rightarrow Zh) = i \frac{e^2 M_Z \sin(\beta - \alpha)}{2x_W(1 - x_W)} D_Z(s) U_\mu^*(q) \times \{ \bar{v}(p_2, s_2) \gamma_\mu [g_L(1 + \gamma_5) + g_R(1 - \gamma_5)] u(p_1, s_1) \}, \quad (7)$$


 Рис. 1: Фейнмановская диаграмма процесса $e^-e^+ \rightarrow Zh$

где

$$D_Z(s) = \frac{1}{s - M_Z^2}; \quad (8)$$

$s = p^2 = (p_1 + p_2)^2$ — квадрат суммарной энергии e^-e^+ -пары в системе центра масс; $U_\mu^*(q)$ и M_Z — 4-вектор поляризации и масса Z -бозона;

$$g_L = -\frac{1}{2} + x_W, \quad g_R = x_W \quad (9)$$

— левая и правая константы связи электрона с векторным Z -бозоном; $x_W = \sin^2 \theta_W$ — параметр Вайнберга (θ_W — угол Вайнберга); β и α — параметры МССМ.

Возводим в квадрат матричный элемент процесса $e^- + e^+ \rightarrow Z + h$:

$$|M(e^-e^+ \rightarrow Zh)|^2 = \left(\frac{e^2 M_Z \sin(\beta - \alpha)}{2x_W(1 - x_W)} \right)^2 D_Z^2(s) G_{\mu\nu} L_{\mu\nu}, \quad (10)$$

где

$$G_{\mu\nu} = \sum_{\text{пол.}} U_\mu^*(q) U_\nu(q) = -g_{\mu\nu} + \frac{q_\mu q_\nu}{M_Z^2} \quad (11)$$

— тензор, возникающий в результате суммирования по поляризационным состояниям Z -бозона; $L_{\mu\nu}$ — электрон-позитронный тензор:

$$\begin{aligned} L_{\mu\nu} = Sp \left\{ \frac{1}{2} (\hat{p}_2 - m)(1 - \gamma_5 \hat{s}_2) \gamma_\mu [g_L(1 + \gamma_5) + g_R(1 - \gamma_5)] \times \right. \\ \left. \times \frac{1}{2} (\hat{p}_1 + m)(1 - \gamma_5 \hat{s}_1) \gamma_\nu [g_L(1 + \gamma_5) + g_R(1 - \gamma_5)] \right\} = 2[g_L^2 + g_R^2] [p_{2\mu} p_{1\nu} + p_{1\mu} p_{2\nu} - \\ - (p_1 \cdot p_2) g_{\mu\nu} - m^2 (s_{2\mu} s_{1\nu} + s_{1\mu} s_{2\nu} - (s_1 \cdot s_2) g_{\mu\nu}) - im \varepsilon_{\mu\nu\rho\sigma} (p_{2\rho} s_{1\sigma} + p_{1\rho} s_{2\sigma})] + \\ + 2[g_L^2 - g_R^2] [m (s_{2\mu} p_{1\nu} + p_{1\mu} s_{2\nu} - (p_1 \cdot s_2) g_{\mu\nu} - p_{2\mu} s_{1\nu} - s_{1\mu} p_{2\nu} + (p_2 \cdot s_1) g_{\mu\nu}) - \\ - i \varepsilon_{\mu\nu\rho\sigma} (p_{1\rho} p_{2\sigma} - m^2 s_{1\rho} s_{2\sigma})] + 4g_L g_R [-m^2 g_{\mu\nu} - (p_1 \cdot p_2) (s_{2\mu} s_{1\nu} + s_{1\mu} s_{2\nu} - (s_1 \cdot s_2) g_{\mu\nu}) - \\ - (p_1 \cdot s_2) (p_{1\mu} p_{2\nu} + p_{2\mu} p_{1\nu}) + (p_2 \cdot s_1) (s_{2\mu} p_{1\nu} + p_{1\mu} s_{1\nu} - (p_1 \cdot s_2) g_{\mu\nu}) + \\ + (p_1 \cdot s_2) (p_{2\mu} s_{1\nu} + p_{2\nu} s_{1\mu}) - im \varepsilon_{\mu\nu\rho\sigma} (p_{1\rho} s_{1\sigma} + p_{2\rho} s_{2\sigma})], \end{aligned} \quad (12)$$

где m — масса электрона.

Произведение тензоров $G_{\mu\nu} L_{\mu\nu}$ дает выражение:

$$\begin{aligned} G_{\mu\nu} L_{\mu\nu} = 2(g_L^2 + g_R^2) [(p_1 \cdot p_2) + \frac{2}{M_Z^2} (q \cdot p_1)(q \cdot p_2) - m^2 ((s_1 \cdot s_2) + \frac{2}{M_Z^2} (q \cdot s_1)(q \cdot s_2))] + \\ + 2(g_L^2 - g_R^2) m [(p_1 \cdot s_2) - (p_2 \cdot s_1) + \frac{2}{M_Z^2} ((q \cdot s_2)(q \cdot p_1) - (q \cdot s_1)(q \cdot p_2))] + \\ + 4g_L g_R [(p_1 \cdot p_2)(s_1 \cdot s_2) - (p_1 \cdot s_2)(p_2 \cdot s_1) + \frac{2}{M_Z^2} ((p_2 \cdot s_1)(q \cdot s_2)(q \cdot p_1) + \\ + (p_1 \cdot s_2)(q \cdot s_1)(q \cdot p_2) - (p_1 \cdot p_2)(q \cdot s_1)(q \cdot s_2) - (s_1 \cdot s_2)(p_1 \cdot q)(p_2 \cdot q)]. \end{aligned} \quad (13)$$

На основе квадрата матричного элемента (10) с учетом произведения тензоров $G_{\mu\nu} L_{\mu\nu}$ (13) для дифференциального сечения реакции $e^- + e^+ \rightarrow Z + h$ получено выражение:

$$\begin{aligned} \frac{d\sigma(e^-e^+ \rightarrow Zh)}{d\Omega} = \left(\frac{\alpha_{\text{КЭД}} \sin(\beta - \alpha)}{2x_W(1 - x_W)} \right)^2 \frac{1}{(s - M_Z^2)^2} \frac{k_h}{\sqrt{s}} \left\{ [(g_L^2 + g_R^2)(1 + (\mathbf{n}\xi_1)(\mathbf{n}\xi_2)) \right. \\ - (g_L^2 - g_R^2)((\mathbf{n}\xi_1) + (\mathbf{n}\xi_2))] \left(M_Z^2 + \frac{1}{2} k_h^2 \sin^2 \theta \right) + g_L g_R [M_Z^2 ((\mathbf{n}\xi_1)(\mathbf{n}\xi_2) - (\xi_1 \xi_2)) + k_h^2 (\sin^2 \theta (\xi_1 \xi_2) - \\ \left. - 2(\mathbf{n}_0 \xi_1)(\mathbf{n}_0 \xi_2) + 2 \cos \theta ((\mathbf{n} \xi_1)(\mathbf{n}_0 \xi_2) + (\mathbf{n}\xi_2)(\mathbf{n}_0 \xi_1)) (1 + \cos^2 \theta) (\mathbf{n}\xi_1)(\mathbf{n}\xi_2))] \right\}. \end{aligned} \quad (14)$$

Здесь ξ_1 и ξ_2 — единичные спиновые векторы электрона и позитрона в их системах покоя; \mathbf{n} и \mathbf{n}_0 — единичные векторы, направленные по импульсам электрона и Хиггс-бозона h , θ — полярный угол вылета Хиггс-бозона (угол между импульсами Хиггс-бозона h и электрона); k_h — модуль трехмерного импульса h -бозона, определяемый из законов сохранения энергии и импульса:

$$k_h = \frac{1}{2\sqrt{s}} [(s - M_h^2 - M_Z^2)^2 - 4M_h^2 M_Z^2]^{1/2}, \quad (15)$$

M_h — масса Хиггс-бозона h .

Разлагая единичные векторы ξ_1 и ξ_2 на продольные и поперечные составляющие

$$\xi_1 = \mathbf{n}\lambda_1 + \boldsymbol{\eta}_1, \quad \xi_2 = -\mathbf{n}\lambda_2 + \boldsymbol{\eta}_2,$$

имеем следующее выражение для дифференциального сечения процесса $e^- + e^+ \rightarrow Z + h$:

$$\frac{d\sigma(e^-e^+ \rightarrow Zh)}{d\Omega} = \left(\frac{\alpha_{\text{КЭД}} \sin(\beta - \alpha)}{2x_W(1 - x_W)} \right)^2 \frac{1}{(s - M_Z^2)^2} \frac{k_h}{\sqrt{s}} \{ [g_L^2(1 - \lambda_1)(1 + \lambda_2) + g_R^2(1 + \lambda_1)(1 - \lambda_2)] \times \\ \times \left(M_Z^2 + \frac{1}{2}k_h^2 \sin^2 \theta \right) - g_L g_R \eta_1 \eta_2 \sin^2 \theta \cos(2\varphi - \phi) \}. \quad (16)$$

Здесь λ_1 и λ_2 — спиральности, а $\boldsymbol{\eta}_1$ и $\boldsymbol{\eta}_2$ — поперечные компоненты спиновых векторов электрона и позитрона, ϕ — угол между векторами $\boldsymbol{\eta}_1$ и $\boldsymbol{\eta}_2$, φ — азимутальный угол вылета скалярного h -бозона.

В случае, когда e^-e^+ -пара поляризована поперечно, дифференциальное сечение реакции $e^- + e^+ \rightarrow Z + h$ примет вид (угол ϕ принят $\phi = \pi$):

$$\frac{d\sigma(\theta, 2\varphi)}{d\Omega} = \left(\frac{\alpha_{\text{КЭД}} \sin(\beta - \alpha)}{2x_W(1 - x_W)} \right)^2 \frac{1}{(s - M_Z^2)^2} \frac{k_h}{\sqrt{s}} \times \\ \times \left[(g_L^2 + g_R^2) \left(M_Z^2 + \frac{1}{2}k_h^2 \sin^2 \theta \right) + \eta_1 \eta_2 g_L g_R k_h^2 \sin^2 \theta \cos 2\varphi \right]. \quad (17)$$

Отсюда следует, что в угловом распределении h -бозона должна наблюдаться азимутальная асимметрия, определяемая формулой

$$A(\theta, \varphi) = \frac{d\sigma(\theta, 2\varphi)/d\Omega - d\sigma(\theta, \pi - 2\varphi)/d\Omega}{d\sigma(\theta, 2\varphi)/d\Omega + d\sigma(\theta, \pi - 2\varphi)/d\Omega} = \\ = \frac{2g_L g_R}{g_L^2 + g_R^2} \cdot \frac{k_h^2 \sin^2 \theta}{2M_Z^2 + k_h^2 \sin^2 \theta} \cdot \cos 2\varphi \cdot \eta_1 \eta_2. \quad (18)$$

Приведем также выражение интегрированной по θ азимутальной угловой асимметрии (эта асимметрия связана поперечными поляризациями электрона и позитрона, поэтому часто она называется поперечной спиновой асимметрией):

$$A(\varphi) = \frac{2g_L g_R}{g_L^2 + g_R^2} \cdot \frac{k_h^2}{3M_Z^2 + k_h^2} \cdot \cos 2\varphi \cdot \eta_1 \eta_2. \quad (19)$$

Максимальное значение поперечной спиновой асимметрии (19) приходится на угол $\varphi = 0^\circ$ или π .

На рис. 2,а иллюстрируется зависимость поперечной спиновой асимметрии $A(\varphi = 0)/\eta_1 \eta_2$ от массы h -бозона M_h при энергии e^-e^+ -пучков $\sqrt{s} = 500$ ГэВ (масса Z -бозона $M_Z = 91.1875$ ГэВ, параметр Вайнберга $x_W = 0.232$). Видно, что поперечная спиновая асимметрия отрицательна и с увеличением массы h -бозона уменьшается по модулю. При фиксированной

массе Хиггс-бозона увеличение энергии e^-e^+ -пучков приводит к увеличению по модулю поперечной спиновой асимметрии (рис. 2,б, где приведена зависимость поперечной спиновой асимметрии от энергии \sqrt{s} при $M_h = 70$ ГэВ).

Интегрируя выражение (16) по углам вылета Хиггс-бозона, получим следующую формулу для полного сечения процесса $e^- + e^+ \rightarrow Z + h$ с продольно поляризованными электрон-позитронными пучками:

$$\sigma(e^-e^+ \rightarrow Zh) = \frac{\pi \alpha_{\text{КЭД}}^2 \sin^2(\beta - \alpha)}{x_W^2(1 - x_W)^2} \frac{1}{(s - M_Z^2)^2} \frac{k_h}{\sqrt{s}} \times \\ \times [g_L^2(1 - \lambda_1)(1 + \lambda_2) + g_R^2(1 + \lambda_1)(1 - \lambda_2)] \times \\ \times \left(M_Z^2 + \frac{1}{3}k_h^2 \right). \quad (20)$$

Отсюда видно, что эффективное сечение процесса $e^- + e^+ \rightarrow Z + h$ отличается от нуля только в том случае, когда спиральности электрона и позитрона противоположны: $e_L^- e_R^+$ или $e_R^- e_L^+$. Это связано с сохранением полного момента в рассматриваемой реакции. Следовательно, процессу $e^- + e^+ \rightarrow Z + h$ соответствуют две спиральные сечения:

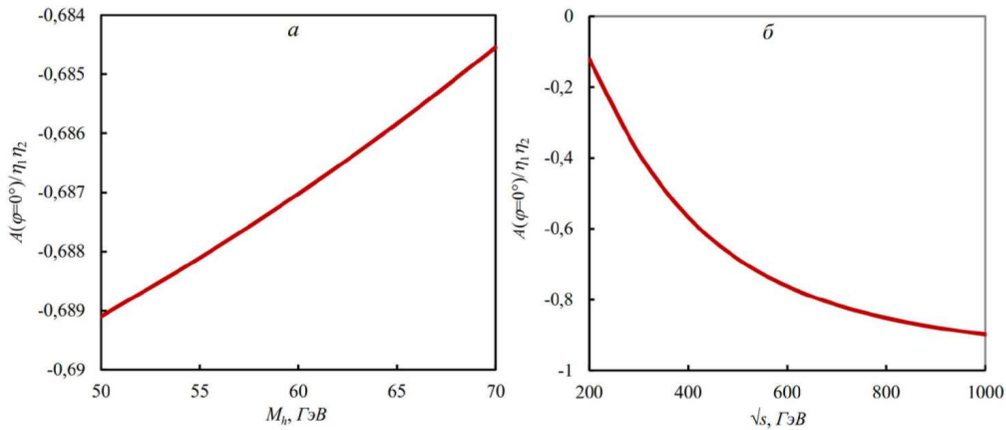


Рис. 2: *a* — Зависимость поперечной спиновой асимметрии $A(\varphi = 0)/\eta_1\eta_2$ от массы M_h ; *б* — Энергетическая зависимость поперечной спиновой асимметрии

$$\begin{aligned} \sigma(e_L^- e_R^+ \rightarrow Zh) &= \frac{4\pi\alpha_{\text{КЭД}}^2 \sin^2(\beta - \alpha)}{x_W^2(1 - x_W)^2} \frac{1}{(s - M_Z^2)^2} \frac{k_h}{\sqrt{s}} g_L^2 \left(M_Z^2 + \frac{1}{3}k_h^2 \right), \\ \sigma(e_R^- e_L^+ \rightarrow Zh) &= \frac{4\pi\alpha_{\text{КЭД}}^2 \sin^2(\beta - \alpha)}{x_W^2(1 - x_W)^2} \frac{1}{(s - M_Z^2)^2} \frac{k_h}{\sqrt{s}} g_R^2 \left(M_Z^2 + \frac{1}{3}k_h^2 \right). \end{aligned} \quad (21)$$

Значит, рассматриваемая реакция обладает правой спиновой асимметрией:

$$A_{RL} = \frac{\sigma(e_R^- e_L^+ \rightarrow Zh) - \sigma(e_L^- e_R^+ \rightarrow Zh)}{\sigma(e_R^- e_L^+ \rightarrow Zh) + \sigma(e_L^- e_R^+ \rightarrow Zh)} = \frac{g_R^2 - g_L^2}{g_L^2 + g_R^2}, \quad (22)$$

зависящей только от параметра Вайнберга x_W , и при значении этого параметра $x_W = 0.232$ асимметрия равна -14% .

Полное эффективное сечение процесса $e^- + e^+ \rightarrow Z + h$, усредненное по спиновым состояниям e^-e^+ -пары, дается выражением:

$$\begin{aligned} \sigma(e^- e^+ \rightarrow Zh) &= \frac{\pi\alpha_{\text{КЭД}}^2 \sin^2(\beta - \alpha)}{x_W^2(1 - x_W)^2} \times \\ &\times \frac{1}{(s - M_Z^2)^2} \frac{k_h}{\sqrt{s}} (g_L^2 + g_R^2) \left(M_Z^2 + \frac{1}{3}k_h^2 \right). \end{aligned} \quad (23)$$

Это сечение зависит от энергии электрон-позитронных пучков \sqrt{s} , от массы Хиггс-бозона M_A и параметров x_W и $\text{tg}\beta$. На рис. 3,а приводится энергетическая зависимость сечения процесса $e^- + e^+ \rightarrow Z + h$ при $M_A = 150\text{ГэВ}$, $\text{tg}\beta = 3$ и $x_W = 0.232$. Как видно, с увеличением энергии электрон-позитронных пучков эффективное сечение монотонно уменьшается от сотни фемтобарна до десятков фемтобарн.

Рис. 3,б иллюстрирует зависимость эффективного сечения $\sigma(e^- e^+ \rightarrow Zh)$ от массы Хиггс-бозона M_h

при фиксированной энергии $\sqrt{s} = 500\text{ГэВ}$. Здесь наблюдается рост эффективного сечения с увеличением массы Хиггс-бозона M_h .

Чтобы получить выражения для дифференциальных и полных сечений процесса $e^- + e^+ \rightarrow Z + H$ ($e^- + e^+ \rightarrow Z + H_{CM}$), необходимо в вышеприведенных сечениях произвести следующие замены

$$\begin{aligned} \sin(\beta - \alpha) &\rightarrow \cos(\beta - \alpha) \quad (\rightarrow 1), \\ k_h &\rightarrow k_H \quad (\rightarrow k_{H_{CM}}), \\ M_h &\rightarrow M_H \quad (\rightarrow M_{H_{CM}}). \end{aligned}$$

2. СОВМЕСТНОЕ РОЖДЕНИЕ СКАЛЯРНОГО $h(H)$ - И ПСЕВДОСКАЛЯРНОГО A -БОЗОНОВ

В МССМ CP -инвариантностью запрещены вершины ZZA , Zhh , ZhH , ZHH и ZAA . Следовательно, невозможны процессы рождения Хиггс-бозонов по каналам $e^- + e^+ \rightarrow (Z^*) \rightarrow Z + A$, $e^- + e^+ \rightarrow (Z^*) \rightarrow h + h$, $e^- + e^+ \rightarrow (Z^*) \rightarrow h + H$, $e^- + e^+ \rightarrow (Z^*) \rightarrow H + H$, $e^- + e^+ \rightarrow (Z^*) \rightarrow A + A$. Возможными процессами являются совместное рождение скалярного h (или H)- и псевдоскалярного A -бозонов (процессы (4) и (5)).

Фейнмановская диаграмма процесса (4) приведена на рис. 4.

Матричный элемент, соответствующий этой диаграмме, запишем так:

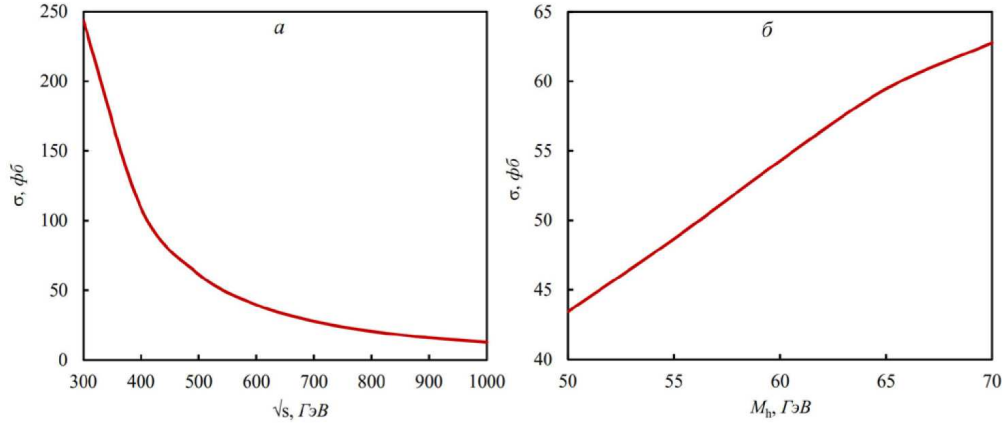


Рис. 3: *a* – Энергетическая зависимость сечения реакции $e^-e^+ \rightarrow Zh$ при $M_A = 150$ ГэВ и $\text{tg}\beta=3$; *b* – Зависимость сечения $\sigma(e^-e^+ \rightarrow Zh)$ от массы M_h при $\sqrt{s} = 500$ ГэВ

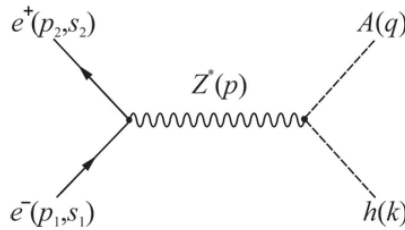


Рис. 4: Диаграмма Фейнмана реакции $e^-e^+ \rightarrow hA$

$$M(e^-e^+ \rightarrow Ah) = \frac{e^2 \cos(\beta - \alpha)}{4x_W(1 - x_W)} D_Z(s) r_\mu [\bar{v}(p_2, s_2) \gamma_\mu \times \times [g_L(1 + \gamma_5) + g_R(1 - \gamma_5)] u(p_1, s_1)], \tag{24}$$

где через r_μ обозначена разность импульсов конечных частиц: $r_\mu = (q - k)_\mu$.

Квадрат матричного элемента (24) дает выражение:

$$|M(e^-e^+ \rightarrow Ah)|^2 = \left(\frac{e^2 \cos(\beta - \alpha)}{4x_W(1 - x_W)} \right)^2 D_Z^2(s) r_\mu r_\nu L_{\mu\nu} = \left(\frac{e^2 \cos(\beta - \alpha)}{4x_W(1 - x_W)} \right)^2 F.$$

Здесь $L_{\mu\nu}$ – лептонный тензор, определяемый выражением (12), а функция F равна

$$F = D_Z^2(s) \{ 2(g_L^2 + g_R^2)[2(p_1 \cdot r)(p_2 \cdot r) - r^2(p_1 \cdot p_2) + m^2((s_1 \cdot s_2)r^2 - 2(s_1 \cdot r)(s_2 \cdot r))] + + 2(g_L^2 - g_R^2)m[2(p_1 \cdot r)(s_2 \cdot r) - r^2(p_1 \cdot s_2) - 2(p_2 \cdot r)(s_1 \cdot r) + r^2(p_2 \cdot s_1)] - - 4g_L g_R [(p_1 \cdot p_2)(2(s_1 \cdot r)(s_2 \cdot r) - r^2(s_1 \cdot s_2)) - (p_1 \cdot s_2)(2(p_2 \cdot r)(s_1 \cdot r) - r^2(p_2 \cdot s_1))] + + 2(s_1 \cdot s_2)(p_1 \cdot r)(p_2 \cdot r) - 2(p_2 \cdot s_1)(s_2 \cdot r)(r \cdot p_1) \}. \tag{25}$$

Произведя расчеты при произвольных поляризациях электрона и позитрона, имеем следующее выражение для дифференциального сечения реакции $e^- + e^+ \rightarrow A + h$:

$$\frac{d\sigma(e^-e^+ \rightarrow Ah)}{d\Omega} = \frac{\alpha_{\text{КЭД}}^2 \cos^2(\beta - \alpha)}{8x_W^2(1 - x_W)^2} \frac{k_h^3}{\sqrt{s}(s - M_Z^2)^2} \{ [(g_L^2 + g_R^2)(1 + (\mathbf{n}\xi_1)(\mathbf{n}\xi_2)) - (g_L^2 - g_R^2)((\mathbf{n}\xi_1) + (\mathbf{n}\xi_2))] \sin^2 \theta + 2g_L g_R [\sin^2 \theta (\xi_1 \xi_2) - 2(\mathbf{n}_0 \xi_1)(\mathbf{n}_0 \xi_2) + + 2 \cos \theta ((\mathbf{n}\xi_1)(\mathbf{n}_0 \xi_2) + (\mathbf{n}_0 \xi_2)(\mathbf{n}\xi_1)) (1 + \cos^2 \theta) (\mathbf{n}\xi_1)(\mathbf{n}\xi_2)] \}. \tag{26}$$

Разлагая спиновые векторы электрона ξ_1 и позитрона ξ_2 на продольные и поперечные компоненты, для дифференциального сечения реакции $e^- + e^+ \rightarrow A + h$ получаем выражение (при $\phi = \pi$):

$$\frac{d\sigma(e^-e^+ \rightarrow Ah)}{d\Omega} = \frac{1}{8} \left(\frac{\alpha_{\text{КЭД}} \cos(\beta - \alpha)}{x_W(1-x_W)} \right)^2 \frac{k_h^3 \sin^2 \theta}{\sqrt{s}(s - M_Z^2)^2} \times \quad (27)$$

$$\times [g_L^2(1 - \lambda_1)(1 + \lambda_2) + g_R^2(1 + \lambda_1)(1 - \lambda_2) + 2g_L g_R \eta_1 \eta_2 \cos 2\varphi],$$

Как следует из этой формулы, данный процесс обладает и поперечной спиновой асимметрией

$$A(\varphi) = \frac{2g_L g_R}{g_L^2 + g_R^2} \eta_1 \eta_2 \cos 2\varphi \quad (28)$$

и право-левой спиновой асимметрией

$$A_{RL} = \frac{g_R^2 - g_L^2}{g_R^2 + g_L^2}. \quad (29)$$

При нулевом значении азимутального угла вылета Хиггс-бозона h поперечная спиновая асимметрия приблизительно достигает 100%:

$$\frac{A(\varphi = 0^\circ)}{\eta_1 \eta_2} = \frac{2g_L g_R}{g_L^2 + g_R^2} \cong -100\%.$$

Это связано с тем, что при $x_W = 0.232$ значения левой и правой констант связи электрона очень близки друг другу, отличаются только знаком. Что касается право-левой асимметрии A_{RL} , то она, как и в процессах $e^- + e^+ \rightarrow Z + h$, $e^- + e^+ \rightarrow Z + H$, постоянна и равна -14% .

Полное эффективное сечение реакции $e^- + e^+ \rightarrow A + h$, усредненное по спиновым состояниям электрона и позитрона, определяется выражением:

$$\sigma(e^-e^+ \rightarrow Ah) = \frac{\pi}{3} \left(\frac{\alpha_{\text{КЭД}} \cos(\beta - \alpha)}{x_W(1-x_W)} \right)^2 \times \quad (30)$$

$$\times \frac{1}{(s - M_Z^2)^2} \frac{k_h^3}{\sqrt{s}} (g_L^2 + g_R^2).$$

На рис. 5,а. приведена зависимость эффективного сечения процесса $e^- + e^+ \rightarrow A + h$ от энергии электрон-позитронных пучков при двух значениях массы A -бозона: $M_A = 130$ ГэВ и $M_A = 150$ ГэВ, параметр $\text{tg}\beta = 3$. С увеличением энергии e^-e^+ -пучков эффективное сечение уменьшается. При фиксированной же энергии e^-e^+ -пучков уменьшение массы Хиггс-бозона M_h приводит к уменьшению эффективного сечения. На рис. 5,б приводится зависимость сечения от массы M_h при $\sqrt{s} = 500$ ГэВ и $\sqrt{s} = 800$ ГэВ. С увеличением массы M_h сечение уменьшается.

Произведя замен $\cos(\beta - \alpha) \rightarrow \sin(\beta - \alpha)$, $M_h \rightarrow M_H$ и $k_h \rightarrow k_H$ в формулах (28) и (30), получим дифференциальное и полное эффективные сечения реакции

$e^- + e^+ \rightarrow A + H$. Интересно также сравнить полные сечения процессов $e^- + e^+ \rightarrow A + h$ и $e^- + e^+ \rightarrow Z + H_{CM}$. Отношение сечений этих процессов равно:

$$\frac{\sigma(e^-e^+ \rightarrow Ah)}{\sigma(e^-e^+ \rightarrow ZH_{CM})} = \cos^2(\beta - \alpha) \frac{k_h^3}{k_{H_{CM}}(3M_Z^2 + k_{H_{CM}}^2)}. \quad (31)$$

3. РОЖДЕНИЕ ЗАРЯЖЕННЫХ ХИГГС-БОЗОНОВ

В электрон-позитронных столкновениях рождение заряженных Хиггс-бозонов может идти как через виртуальный γ -квант, так и через виртуальный Z -бозон (см. рис. 6, где приведены фейнмановские диаграммы процесса $e^- + e^+ \rightarrow H^- + H^+$).

Амплитуда, отвечающая сумме этих диаграмм, равна

$$M(e^-e^+ \rightarrow H^-H^+) = ie^2 [\bar{v}(p_2, s_2) \gamma_\mu (F_{LR}(1 + \gamma_5) + F_{RL}(1 - \gamma_5)) u(p_1, s_1)] r_\mu, \quad (32)$$

где F_{LR} и F_{RL} — спиральные амплитуды, описывающие процессы $e_L^- + e_R^+ \rightarrow H^- + H^+$ и $e_R^- + e_L^+ \rightarrow H^- + H^+$:

$$F_{LR} = \frac{1}{2s} + \frac{D_Z(s)g_L g_H}{4x_W(1-x_W)}, \quad F_{RL} = \frac{1}{2s} + \frac{D_Z(s)g_R g_H}{4x_W(1-x_W)}, \quad (33)$$

$g_H = 1 - 2x_W$ — константа связи Хиггс-бозона с нейтральным Z -бозоном.

При аннигиляции произвольно поляризованной электрон-позитронной пары дифференциальное сечение реакции $e^- + e^+ \rightarrow H^- + H^+$ можно получить из формулы (26) эффективного сечения процесса $e^- + e^+ \rightarrow A + h$ при помощи следующих замен:

$$\frac{\cos^2(\beta - \alpha)}{16x_W^2(1-x_W)^2} D_Z^2(s)g_L^2(g_R^2; 2g_L g_R) \rightarrow$$

$$\rightarrow F_{LR}^2(F_{RL}^2; 2F_{LR}F_{RL}).$$

Выпишем окончательное выражение для дифференциального сечения реакции $e^- + e^+ \rightarrow H^- + H^+$:

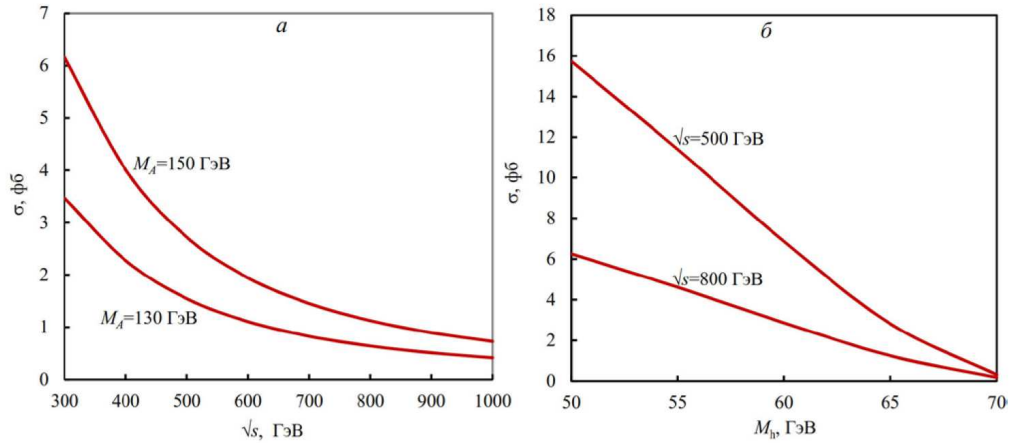


Рис. 5: а — Энергетическая зависимость сечения реакции $e^-e^+ \rightarrow Ah$ при $M_A = 130$ ГэВ и $M_A = 150$ ГэВ; б — Зависимость сечения процесса $e^-e^+ \rightarrow Ah$ от массы M_h при $\sqrt{s} = 500$ ГэВ и $\sqrt{s} = 800$ ГэВ

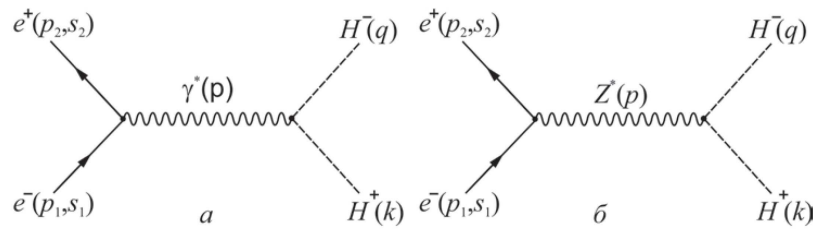


Рис. 6: Диаграммы Фейнмана реакции $e^-e^+ \rightarrow H^-H^+$

$$\frac{d\sigma(e^-e^+ \rightarrow H^-H^+)}{d\Omega} = 2\alpha_{\text{КЭД}}^2 \frac{k_H^3}{\sqrt{s}} \sin^2 \theta \times [F_{LR}^2(1 - \lambda_1)(1 + \lambda_2) + F_{RL}^2(1 + \lambda_1)(1 - \lambda_2) + 2F_{LR}F_{RL}\eta_1\eta_2 \cos 2\varphi]. \tag{34}$$

При получении этой формулы принято, что угол между поперечными спиновыми векторами электрона и позитрона $\phi = \pi$.

В данном процессе для право-левой и поперечной спиновых асимметрий получаем выражения

$$A_{RL} = \frac{F_{RL}^2 - F_{LR}^2}{F_{RL}^2 + F_{LR}^2}, \tag{35}$$

$$A(\varphi) = \frac{2F_{LR}F_{RL}}{F_{LR}^2 + F_{RL}^2} \eta_1\eta_2 \cos 2\varphi. \tag{36}$$

На рис. 7,а приводится энергетическая зависимость поперечной спиновой асимметрии $A(\varphi = 0)/\eta_1\eta_2$ и лево-правой спиновой асимметрии в процессе $e^- + e^+ \rightarrow H^- + H^+$ при $M_{H^-} = 125$ ГэВ, $x_W = 0.232$. Как видно, с увеличением энергии e^-e^+ -пучков поперечно-спиновая асимметрия увеличивается, а право-левая спиновая асимметрия уменьшается.

Полное эффективное сечение реакции $e^- + e^+ \rightarrow H^- + H^+$, усредненное по спиновым состояниям электрона и позитрона, равно:

$$\sigma(e^-e^+ \rightarrow H^-H^+) = \frac{16\pi}{3} \alpha_{\text{КЭД}}^2 \frac{k_{H^-}^3}{\sqrt{s}} (F_{LR}^2 + F_{RL}^2). \tag{37}$$

Рис. 7,б иллюстрирует зависимость эффективного сечения (37) от энергии \sqrt{s} при $M_{H^-} = 125$ ГэВ, $x_W = 0.232$. С увеличением энергии e^-e^+ -пары эффективное сечение сперва увеличивается и достигает максимума при $\sqrt{s} = 400$ ГэВ, а дальнейшее увеличение энергии приводит к спаду эффективного сечения.

ЗАКЛЮЧЕНИЕ

Таким образом, мы обсуждали различные каналы рождения хиггсовских бозонов в произвольно поляризованных встречных электрон-позитронных

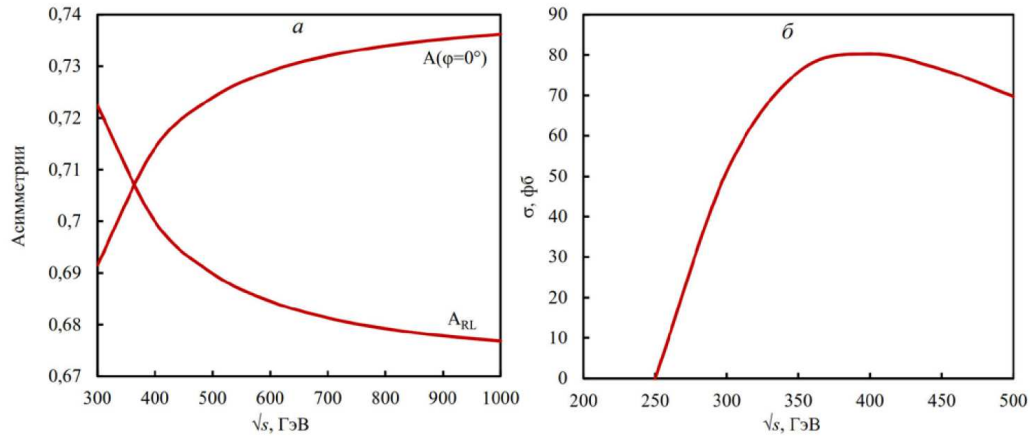


Рис. 7: *a* — Энергетическая зависимость поперечной и право-левой спиновых асимметрий при $M_{H^-} = 125$ ГэВ; *б* — Зависимость сечения процесса $e^-e^+ \rightarrow H^-H^+$ от энергии при $M_{H^-} = 125$ ГэВ

пучках: совместное рождение векторного и скалярного бозонов $e^- + e^+ \rightarrow Z + h$, $e^- + e^+ \rightarrow Z + H$, $e^- + e^+ \rightarrow Z + H_{CM}$, совместное рождение скалярного $h(H)$ и псевдоскалярного A -бозонов $e^- + e^+ \rightarrow h + A$, $e^- + e^+ \rightarrow A + H$, а также рождение пары заряженных бозонов $e^- + e^+ \rightarrow H^- + H^+$. Получены аналитические выражения для матричных элементов, диффе-

ренциальных и интегральных сечений указанных процессов, определены их поляризационные характеристики (поперечная спиновая асимметрия $A(\varphi)$ и право-левая спиновая асимметрия A_{RL}). Исследованы зависимости сечений процессов и их поляризационных характеристик от энергии электрон-позитронных пучков и массы хиггсовских бозонов.

- [1] Соколов А. А., Тернов И. М., Жуковский В. Ч., Борисов А. В. Калибровочные поля. М.: изд. МГУ, 1986.
- [2] Емельянов В. М. Стандартная модель и ее расширения. М.: Физматлит, 2007.
- [3] Djouadi A. The Anatomy of Electro-Weak Symmetry Breaking. Tome I: The Higgs boson in the Standard Model. arXiv: hep-ph/0503172v2. 2005.
- [4] Langacker P. *The Standard Model and Beyond*. CRS Press, 2010.
- [5] Olive K. A. et al. (Particle Data Group). *Chinese Physics C*. 2014. **38**. 090001.
- [6] Окунь Л. Б. Лептоны и кварки. М.: Наука, 1990.
- [7] Боос Э. Э. УФН. 2014. **184**, № 9. С. 985.
- [8] Partignani C. (Particle Data Group). *Chin. Phys. C*. 2016. **40**. 10001.
- [9] Barman R. K. et al. Current status of MSSM Higgs sector with LHC 13 TeV data. arXiv:1608.02573 [hep-ph], 23 May 2017; e-Print: arXiv:1608.02573 [hep-ph].
- [10] Peters K. Prospects for beyond Standard Model Higgs boson searches at future LHC runs and other machines. arXiv:1701.05124 [hep-ex], 21 Feb 2017.
- [11] Englert F., Brout R. *Phys. Rev. Lett.* 1964. **13**, N 9. P. 321.
- [12] Higgs P. W. *Phys. Rev. Lett.* 1964. **13**. P. 508.
- [13] Higgs P. W. *Phys. Rev.* 1966. **145**. P. 1156.
- [14] ATLAS Collaboration. *Phys. Lett. B*. 2012. **716**. P. 1.
- [15] CMS Collaboration. *Phys. Lett. B*. 2012. **716**. P. 30.
- [16] Рубаков В. А. УФН. 2012. **182**, № 10. С. 1017.
- [17] Ланёв А. В. УФН. 2014. **184**, № 9. С. 996.
- [18] Казаков Д. И. УФН. 2014. **184**, № 9. С. 1004.
- [19] Ансельм А. А., Уральцев Н. Г., Хозе В. А. УФН. 1985. **145**, № 2. С. 185.
- [20] Вайнштейн А. И., Захаров М. А., Шифман М. А. УФН. 1980. **131**, № 8). С. 537.
- [21] Абдуллаев С. К., Агамалиева Л. А., Годжаев М. Ш., Саддих Ф. А. ГЭНЖ: Физика. 2015. **1**, № 13. С. 36.
- [22] Абдуллаев С. К., Годжаев М. Ш., Саддих Ф. А. *Вестн. Моск. ун-та. Сер. 3. Физ. Астрон.* 2017. № 4. С. 4. (Abdullayev S. K., Gojajev M. Sh., Saddigh F. A. *Moscow Univ. Phys. Bull.* 2017. **72**, No. 4. P. 329).
- [23] Абдуллаев С. К., Агамалиева Л. А., Годжаев М. Ш. ГЭНЖ: Физика. 2015. **2**, № 14. С. 28.
- [24] Djouadi A. The Anatomy of Electro-Weak Symmetry Breaking. Tome II: arXiv: hep-ph/0503173v2, 2003.
- [25] Haber H. E., Kane G. L. *Phys. Rep.* 1985. **117**. P. 75.
- [26] Kazakov D. I. *Nucl. Phys. B*. 2010. Proc. Suppl. 203-204, P. 118; arXiv: 1010.5419.
- [27] Chung D. I. et al. *Phys. Rept.* 2005. **407**. P. 1.
- [28] Drees M., Godbale R. M., Roy P. Theory and Phenomenology of Sparticles. World Scientific, Spring, 2004.
- [29] Nath P. *Int. J. Mod. Phys. A*. 2012. **27**, (28). P. 1230029. [arXiv:1210.0520 [hep-ph]].
- [30] Aitchison I. J. R. Supersymmetry in Particle Physics. Cambridge University Press, New York, 2007.
- [31] Абдуллаев С. К. Эффекты слабых токов в лептон-лептонных и лептон-адронных взаимодействиях (1 часть, на азерб. языке). Баку, 2012, «АМ 965» ООО.
- [32] Шильцев В. Д. УФН. 2012. **182**, № 10. С. 1033. (Shiltsev D. V. *Physics-Uspekhi*. 2012. **55**, N 10. P. 965).

- [33] Lee B. W., Quigg C., Thacker H. B. *Phys. Rev. D.* 1977. **16**. P. 1519.
- [34] Ellis J., Gaillard M. K., Nanopoulos D. V. *Nucl. Phys. B.* 1976. **106**. P. 292.
- [35] Ioffe B. L., Khoze V. A. *Sov. J. Part. Phys.* 1978. **9**. P. 50.
- [36] Jones D. R. T., Petsov S. T. *Phys. Lett. B.* 1979. **84**, N 4. P. 440.
- [37] Deshpande N. G., Tata X., Dicus D. A. *Phys. Rev. D.* 1984. **29**. P. 1527.
- [38] Dress M., Hikasa K. *Phys. Rev. D.* 1989. **40**. P. 47.
- [39] Behrends F. A., Kleiss R. *Nucl. Phys. B.* 1985. **260**. P. 32.
- [40] Ma E., Okada Y. *Phys. Rev. D.* 1979. **20**. P. 1052.
- [41] Ellis J., Enquist K., Nanopoulos D. V., Ritz S. *Phys. Lett. B.* 1985. **158**, N 5. P. 417.
- [42] Heinemeyer S., Hollik W., Bosiek J., Weiglein G. *Eur. Phys. J. C.* 2001. **19**. P. 535.
- [43] Komaniya S. *Phys. Rev. D.* 1988. **38**. P. 2158.

The Higgs bosons production in arbitrary polarized electron–positron colliding beams

S. K. Abdullayev^a, M. Sh. Gojayev^b

*Department of Theoretical Physics, Faculty of Physics, Baku State University
AZ1148, Z.Khalilov, 23, Baku, Azerbaijan
E-mail: ^asabdullayev@bsu.edu.az, ^bm_qocayev@mail.ru*

The production of Higgs bosons in arbitrary polarized electron-positron collisions has been investigated $e^-e^+ \rightarrow ZH_{SM}$, $e^-e^+ \rightarrow Zh$, $e^-e^+ \rightarrow ZH$, $e^-e^+ \rightarrow hA$, $e^-e^+ \rightarrow HA$ and $e^-e^+ \rightarrow H^-H^+$, where H_{SM} is the Higgs boson of the Standard Model, h , H , A and H^\pm are the analogues of the Higgs boson, which may take place in the MSSM. We have calculated the cross sections and asymmetries $A(\varphi)$ and A_{RL} . The typical peculiarities of the cross sections and asymmetries of the processes as a function of the energy of the e^-e^+ -beams and the Higgs bosons mass are investigated.

PACS: 12.15.-y, 12.15. Mm, 14.70 Hp

Keywords: Standard Model, Higgs boson, helicity, left and right coupling constants, Weinberg's parameter, Minimal Supersymmetric Standard Model.

Received 24 June 2017.

Сведения об авторах

1. Абдуллаев Сархаддин Кубаддин оглы — доктор физ.-мат. наук, профессор; тел.: +994 50 346-28-66, e-mail: sabdullayev@bsu.edu.az.
2. Годжаев Меджид Шарафаддин оглы — канд. физ.-мат. наук, доцент; тел.: +994 50 537-62-10, e-mail: m_qocayev@mail.ru.